

I - 50

垂直補剛材付きプレートガーダーの局所荷重耐力

名城大学 正員 久保 全弘
 名城大学大学院 学生員 菊川 孝博
 滌上工業(株) 正員 安藤 浩吉

1. まえがき

道路橋示方書ではプレートガーダーの支点部以外における垂直補剛材と引張フランジの取付け方法として溶接する場合、溶接せず密着(メタルタッチ)させる場合および適当な間隔(35mm程度)をあけて取付ける場合の3種類を規定している。荷重集中点には垂直補剛材を両側配置するのが原則であるが、間隔をあけて取り付けた場合でも局所荷重に対する効果がどの程度期待できるのかが不明確である。ここでは、前報告¹⁾に引続いて補剛材の配置形式と取付方法が局所荷重耐力に及ぼす影響についての実験結果を報告する。

2. 実験内容

(1) 実験桁 実験桁は、図-1(a)に示すI形断面の溶接桁(材質SS400)である。フランジと腹板の幅厚比($b_f/2t_f = 8.3, d/t_w = 150$)とスパン長($L = 2040\text{mm}$)を一定にして、中間補剛材(I.S)の配置形式とフランジとの取付方法を図-1(b)のように変えた次の6体である。

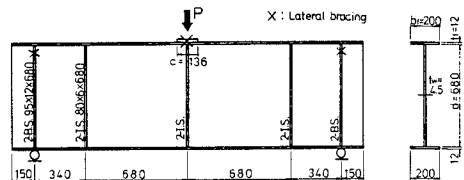


図-1(a) 実験桁

桁NS3: 中間補剛材を配置しない

桁DM: 中間補剛材を両側配置し、メタルタッチとする

桁SW: 中間補剛材を片側配置し、溶接する

桁SM: 中間補剛材を片側配置し、メタルタッチとする

桁SC1: 中間補剛材を片側配置し、 $c_s = 4t_w$ の間隔をあける

桁SC2: 中間補剛材を片側配置し、 $c_s = 8t_w$ の間隔をあける

各桁とも荷重幅($C = 136\text{mm}, c/d = 0.2$)を一定にし、スパン中央の上フランジに局所荷重が作用する場合の実験を行う。なお、垂直補剛材の断面設計は道路橋示方書に準じ、中間補剛材は幅80mm、板厚6mmとした。

(2) 実験方法 桁橋の中間補剛断面に局所荷重が作用することを想定し、図-1に示すように実験桁のスパン中央で上フランジに載荷板(136×19mm)を取り付け載荷した。両支点は鋼棒(直径50mm、長さ50cm)によるローラー支承である。桁の横方向支持は、端補剛材(B.S.)の上部両側と載荷板の片側にボルトベアリング付きロッドを水平に連結し、横倒れを防止した。なお、載荷点では鉛直たわみを自由にするためのスライドガイドが取り付けである。載荷には容量100tfの油圧ジャッキを用いた。載荷中のひずみはフランジ、補剛材では単軸ゲージ、腹板では二軸、ロゼットゲージを用いて測定した。たわみ測定にはダイヤルゲージと移動式変位計(最大ストローク50mm、最小読み1/100mm)を用いた。なお、中央パネルにおける上フランジの鉛直たわみと腹板の面外たわみは、中間補剛材の取り付け点を基準にした相対たわみ量として測定した。

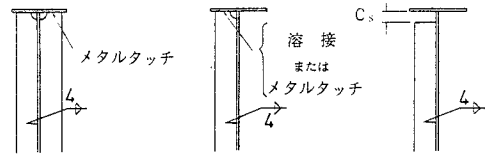


図-1(b) 補剛材の取付方法

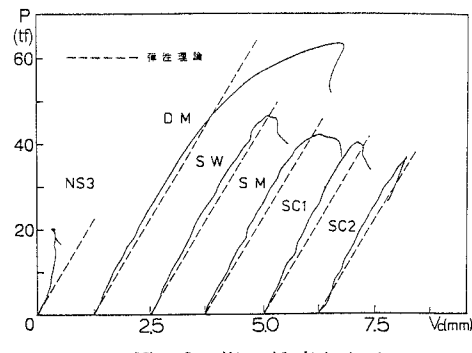


図-2 桁の鉛直たわみ

3. 実験結果

(1) 桁の鉛直たわみ性状 スパン中央断面における下フランジの荷重-鉛直たわみ関係を図-2に示す。

補剛材を配置しない桁NS3では小さい荷重段階から桁としての面内挙動をしていない。これに対し、補剛材上に載荷した5体の桁ではせん断変形を考慮した弾性計算値に沿って増加しているが、補剛材の配置と取付方法によって最大荷重とその後の変形性状に相違がみられる。片側に補剛材を配置した桁の最大荷重における変形性能は両側配置の桁DMに比べ、50%以下に低下する。

(2) 腹板の面外たわみ形

図-3(a), (b)は最大荷重時における腹板の面外たわみを載荷点付近の2種類の断面について描いたものである。スパン中央の載荷点直下($z/b=0.98$)では図-3(a)のように補剛材による変形拘束の効果が認められるが、フランジとの間隔を $8t_w$ と大きくしたSC2の場合には6mm程度と変形も大きく生じ、しかも腹板上縁に集中している。一方、スパン中央から 12.8mm (載荷幅程度)離れた断面($z/b=0.81$)では、図-3(b)のように全実験桁とも変形が増大している。とくに溶接またはメタルタッチした桁DM, SW, SMは上フランジより $0.1\sim0.2d$ で変形が大きく、補剛材の座屈変形に伴って複雑なたわみ形を示している。このようすにフランジとの間隔をあけた桁では、補剛材の顕著な座屈変形が生じないために比較的緩やかなたわみ形を示し、腹板上縁に変形が局所化するものと思われる。

(3) 補剛材のひずみ

図-4はスパン中央の載荷点直下における補剛材(上フランジから 68mm 、腹板から 15mm の所)の鉛直(軸方向)ひずみの変化を示す。補剛材をフランジに溶接またはメタルタッチした桁DM, SW, SMでは、最大荷重時の圧縮ひずみは鋼材の降伏ひずみの1.8倍以上に達し、補剛材の上部(上フランジから $0.4d$ の範囲)で座屈変形が発生した。補剛材とフランジとの間隔を $4t_w$ あけた桁SC1では降伏ひずみの1.2倍以下に、また $8t_w$ あけた桁SC2では0.45倍以下にそれぞれとどまり、顕著な座屈変形は認められなかった。

(4) 桁の耐荷力

実験から得られた最大荷重と無次元耐荷力を表-1に示す。補剛材なしの桁NS3は両側配置の桁DMの32%しか耐荷力がない。そして片側配置で溶接した桁SWは桁DMの74%、メタルタッチした桁SMは67%である。フランジとの間隔を $4t_w$ とした桁SC1は桁DMの64%に、間隔を $8t_w$ と大きくした桁SC2は58%に低下する。

4. あとがき

中間補剛材上に局所荷重が作用した場合の崩壊形と耐荷力を実験的に明らかにし、補剛材剛度のほか配置形式と取付方法によっても多少異なることがわかった。

参考文献

- 1)久保・小川・安藤:局所荷重を受けるプレートガーダーの挙動、土木学会49回年次学術講演会講演概要集、第1部(A), pp. 124~125, 1994-9.

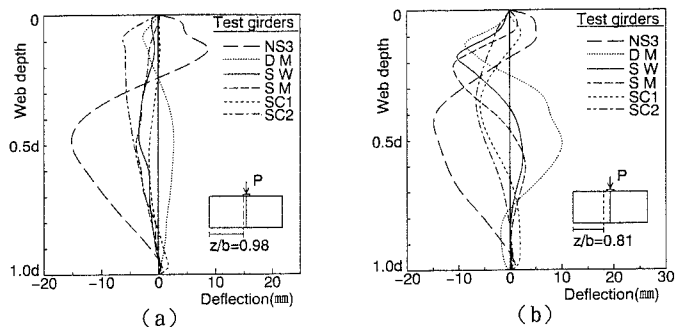


図-3 腹板の面外たわみ形

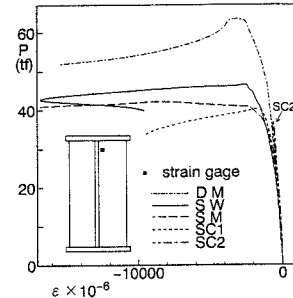


図-4 補剛材のひずみ

表-1 実験桁の耐荷力

実験 桁	P_{max} (tf)	V_{max} (tf)	M_{max} (tf·m)	$\frac{V_{max}}{V_s}$	$\frac{M_{max}}{M_s}$
N S 3	20.19	10.10	10.29	0.215	0.195
D M	63.06	31.53	32.13	0.673	0.609
S W	46.49	23.25	23.70	0.495	0.448
S M	42.16	21.08	21.49	0.451	0.409
S C 1	40.29	20.15	20.54	0.429	0.388
S C 2	36.82	18.41	18.81	0.394	0.360